ANNEE SCOLAIRE : 2015-2016 CLASSE: T^{le} S_2 M. DIEDHIOU

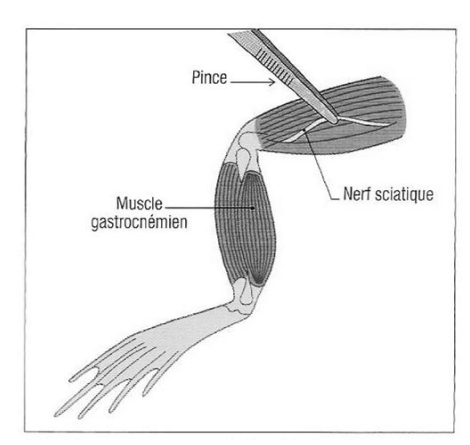
SUPPORT II bis : LE TISSU NERVEUX ET SES PROPRIETES: PROPRIETES DU TISSU NERVEUX

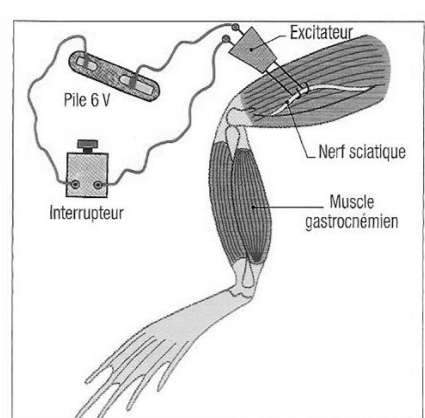
Expérience

Sur une grenouille récement décérébrée et démédullée, on dégage le nerf sciatique en incisant la peau de la cuisse et en écartant les muscles.

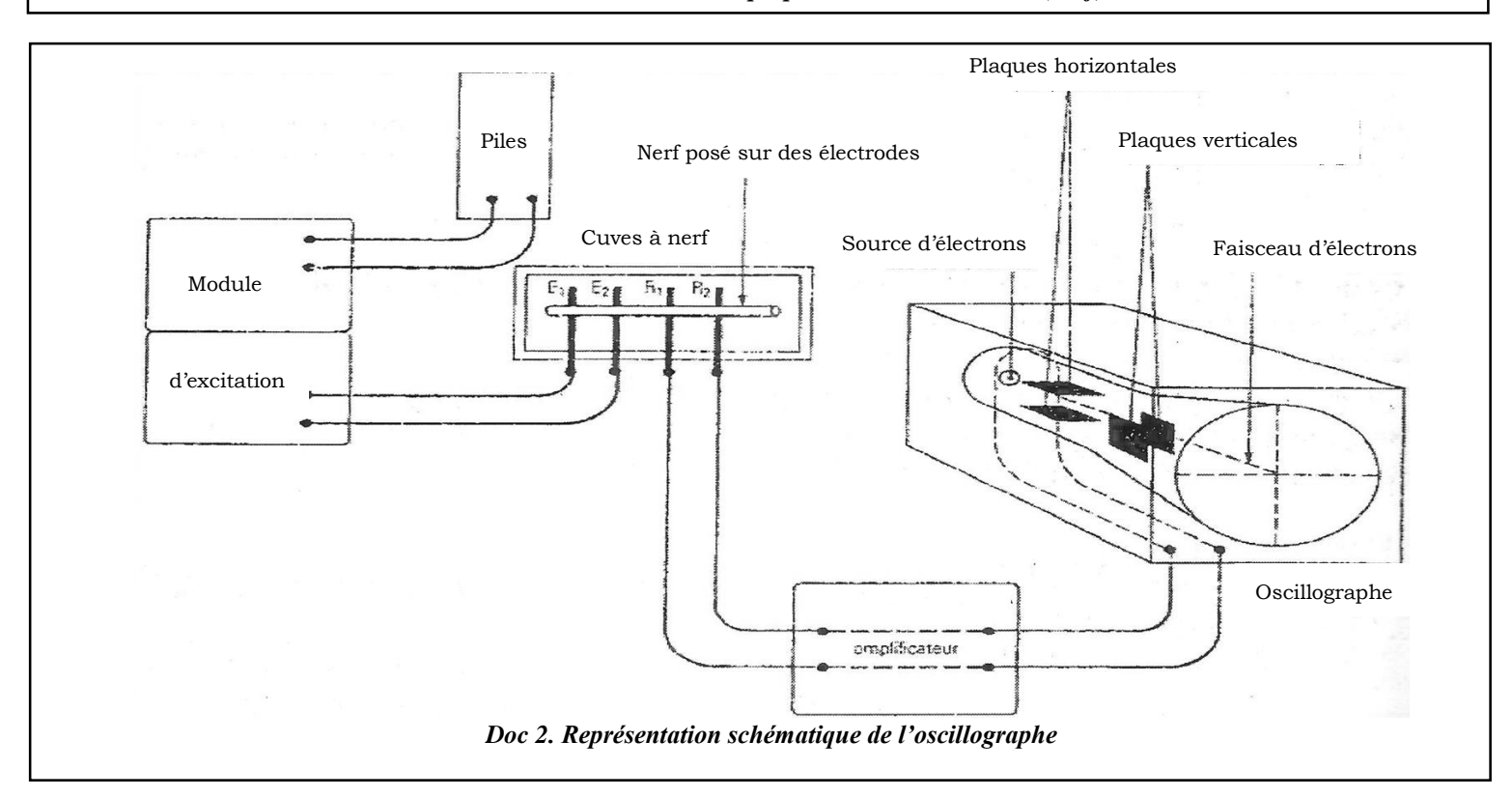
Pinçons le nerf sciatique à l'aide d'une pince à dissection, la patte tremble brièvement. Ce mouvement est provoqué par les muscles de la jambe, muscles innervés par le nerf sciatique.

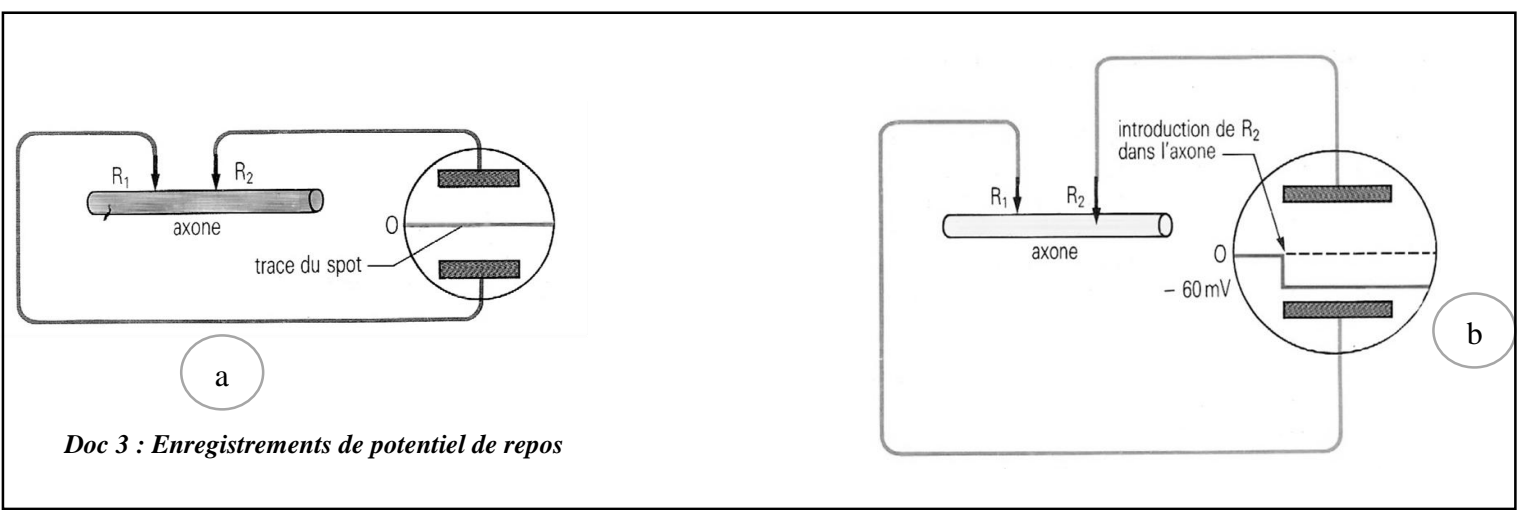
Le nerf sciatique réagit à l'excitation provoquée par le pincement. Une stimulation locale du nerf provoque la contraction des muscles.

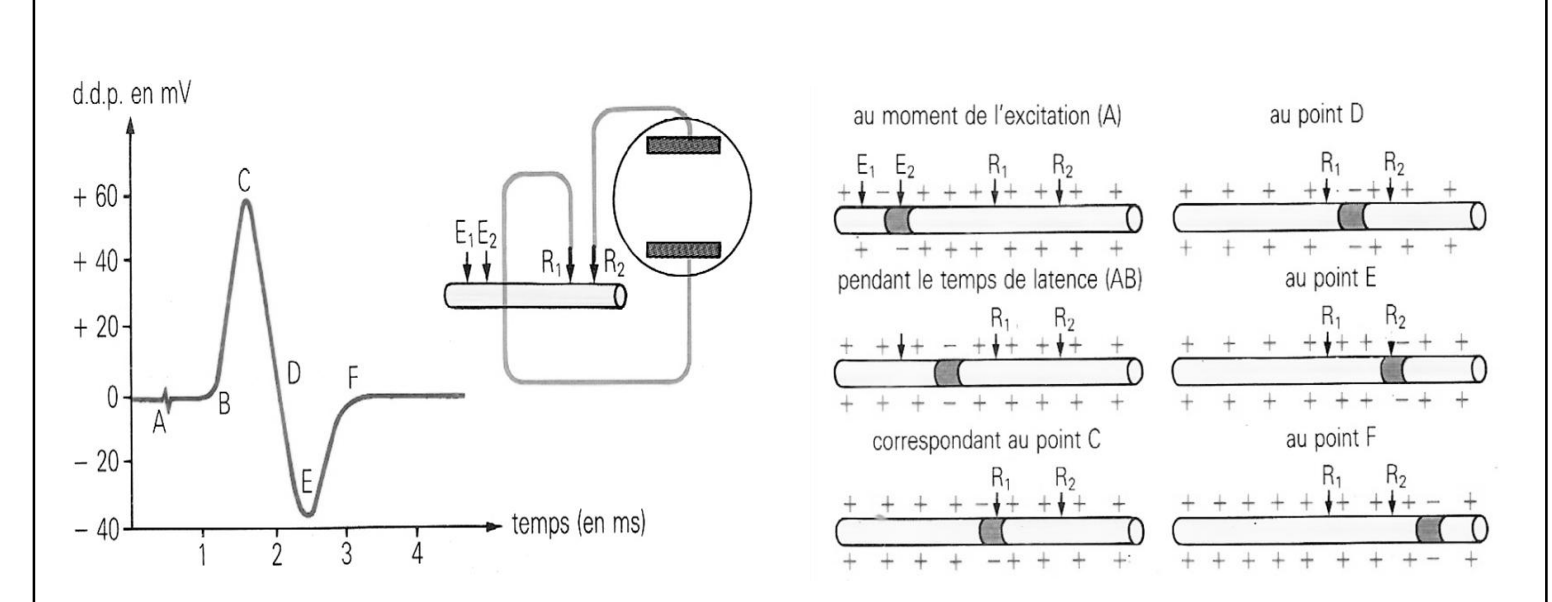




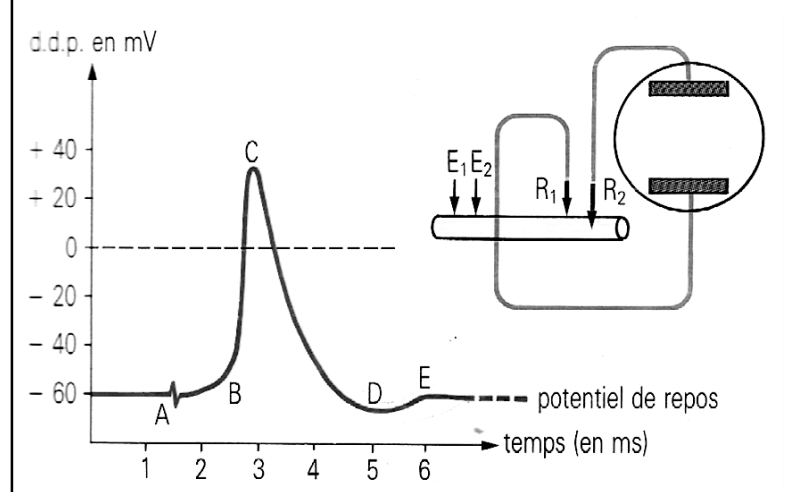
Doc 1 : Mise en évidence des propriétés du tissu nerveux (nerf)



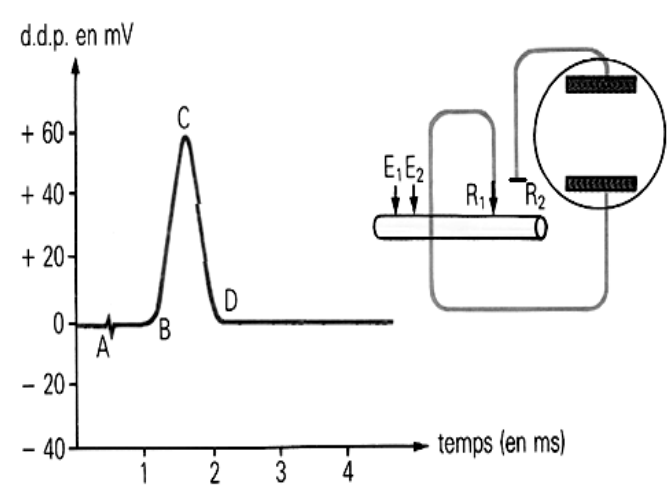




Doc 4a : Enregistrement d'un potentiel d'action FiDoc 4b : Déplacements de l'onde de négativité diphasique

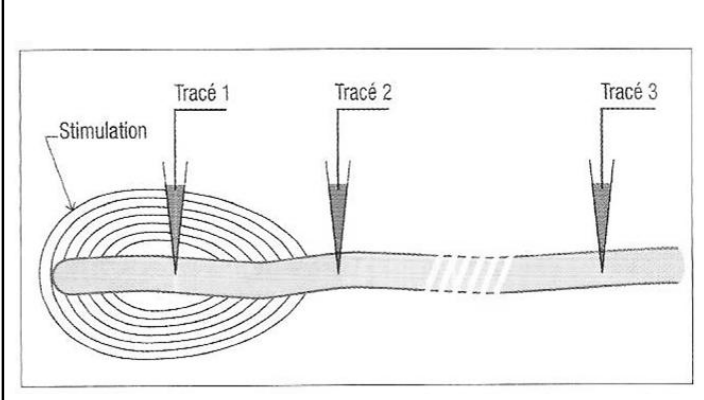


Doc 4c: Enregistrement d'un potentiel d'action monophasique (avec R_2 introduite dans l'axone)

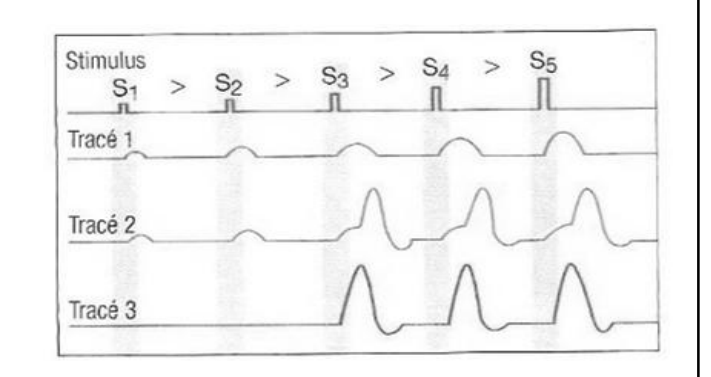


Doc 4d: Enregistrement d'un potentiel d'action monophasique (avec R_2 sur un point de potentiel fixe)

Doc 4: Potentiel d'action

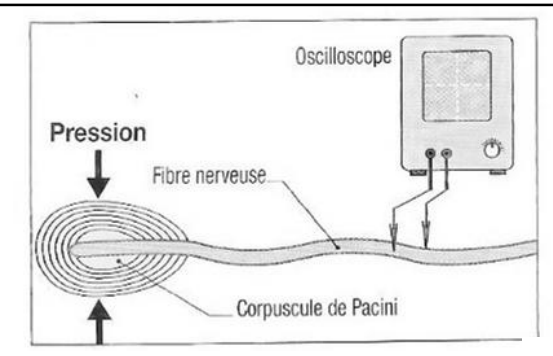


Doc 5a : Dispositif pour enregistrer réponses de la fibre nerveuse d'un récepteur sensoriel (le corpuscule de Pacini)

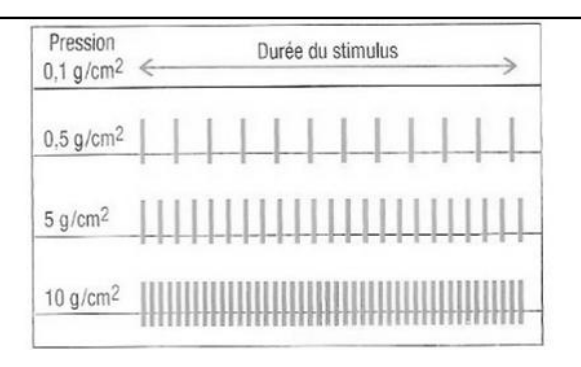


Doc 5b : Réponses après stimulation de la fibre nerveuse innervant le corpuscule de Pacini

Doc 5 : Genèse d'un potentiel d'action au niveau d'un récepteur sensoriel

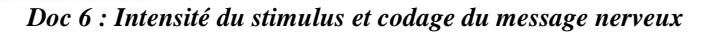


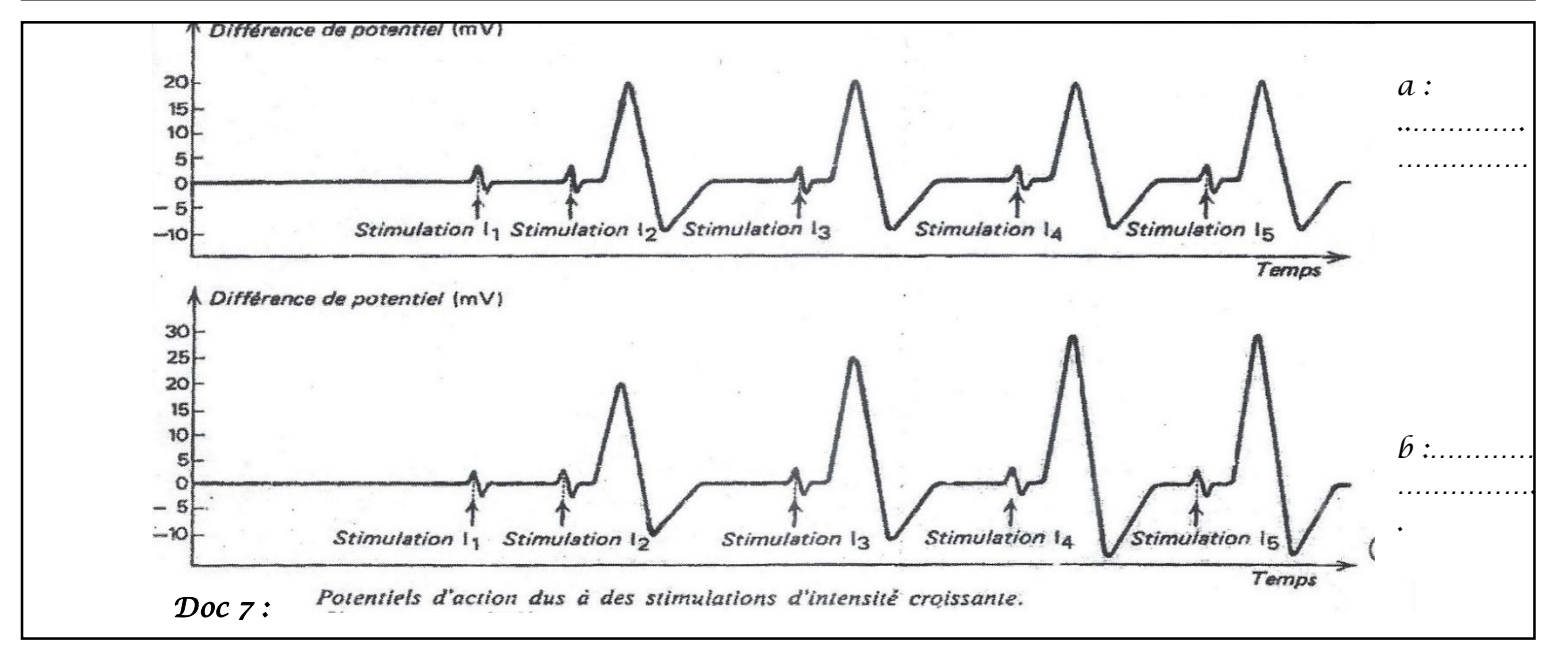
Doc 6a : Enregistrement de l'activité du corpuscule de Pacini

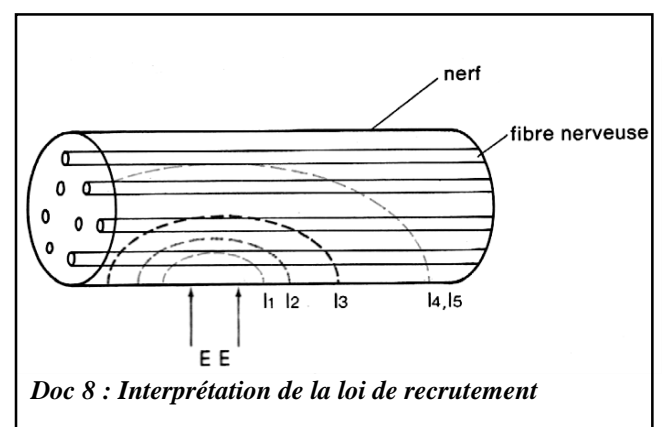


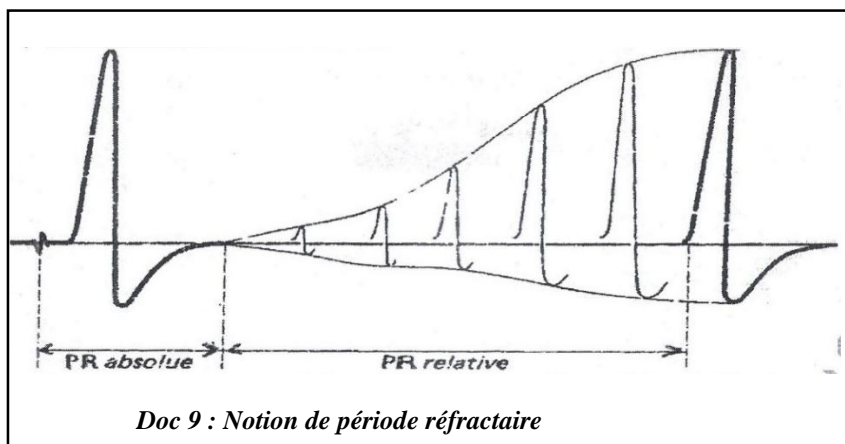
Doc 6b : Messages nerveux enregistrés après stimulation du corpuscule de Pacini

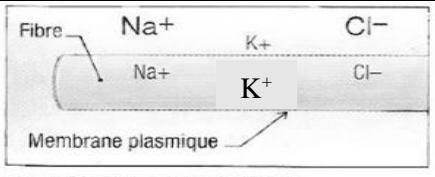
À partir du disnositif du document 5a applique des pressions constantes sur le corpuscule de Pacini. À l'aide d'un oscilloscope cathodique, on enregistre les messages nerveux correspondants (document 66 Dans un message nerveux, un trait vertical représente un potentiel d'action.











Doc 10a : Répartitions des ions de part et d'autre de la membrane de la fibre nerveuse

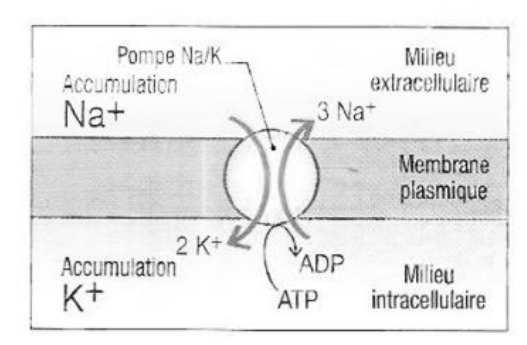
SITUATION BIOLOGIQUE

Exemple : axone géant de calmar.

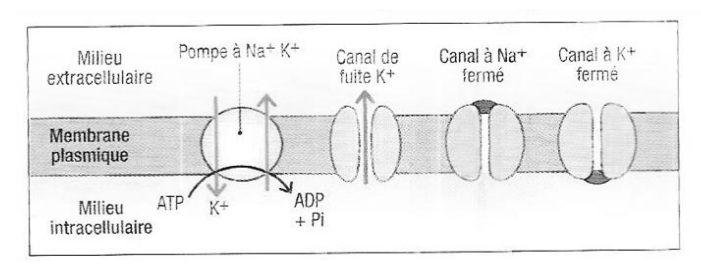
ions		concentrations extracellulaires mmol. L ⁻¹
K+	400	20
Na ⁺	50	440

Doc 10b: concentrations d'ions dans les milieux intra et extracellulaires

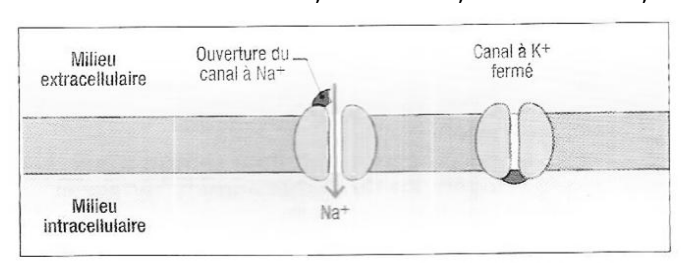
Doc 10 : Origine du potentiel de repos



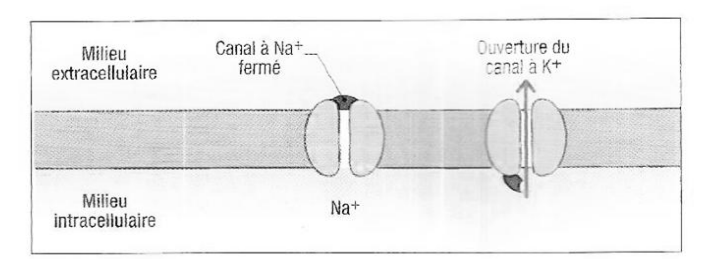
Doc 10c : Mouvements d'ions grâce à la pompe Na^+/K^+



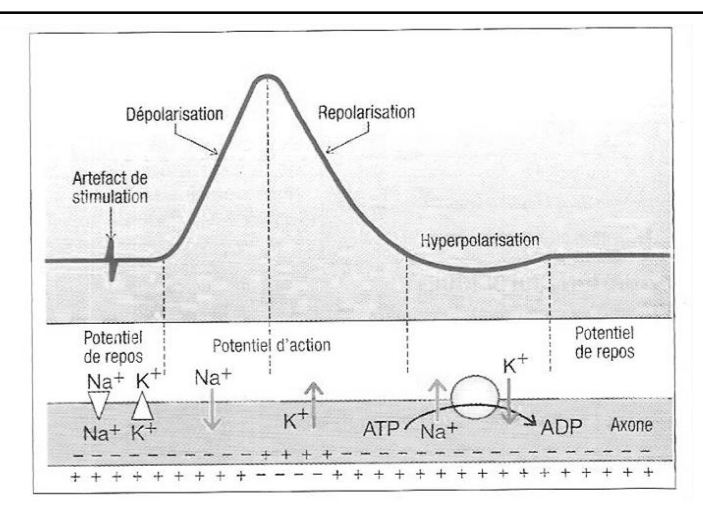
Doc 11a: Mouvements d'ions pendant le potentiel de repos



Doc 11b: Mouvements d'ions pendant la dépolarisation

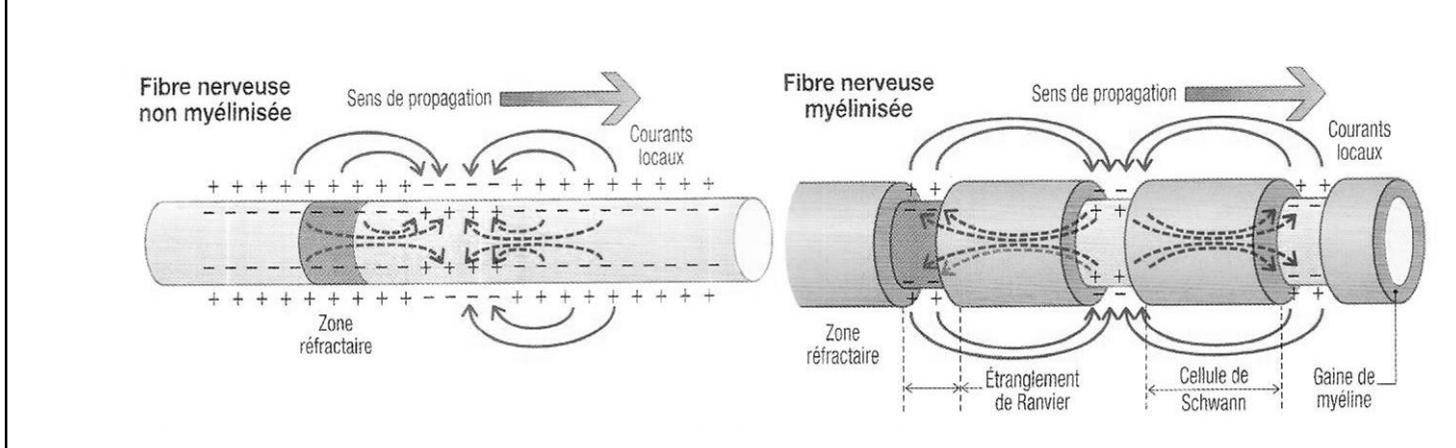


Doc 11c: Mouvements d'ions pendant la repolarisation

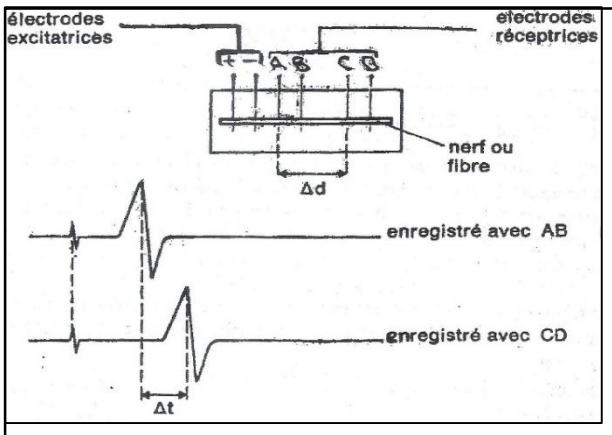


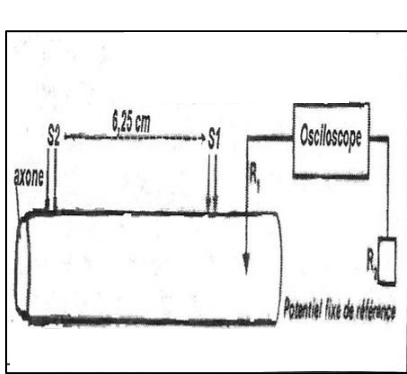
Doc 11d : Schéma de synthèse sur les mouvements d'ions pendant les potentiels de repos et d'action

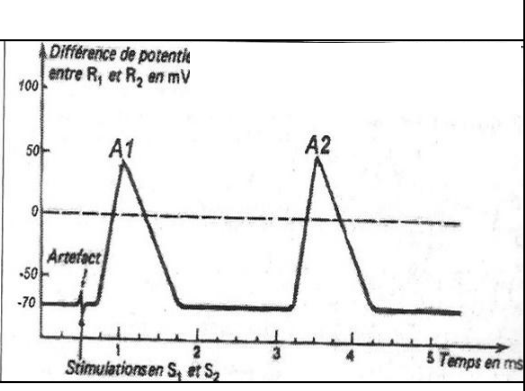
Doc 11 : Phénomènes ioniques en rapport avec l'influx nerveux



Doc 12 : les différents types propagation de l'influx nerveux le long des fibres nerveuses



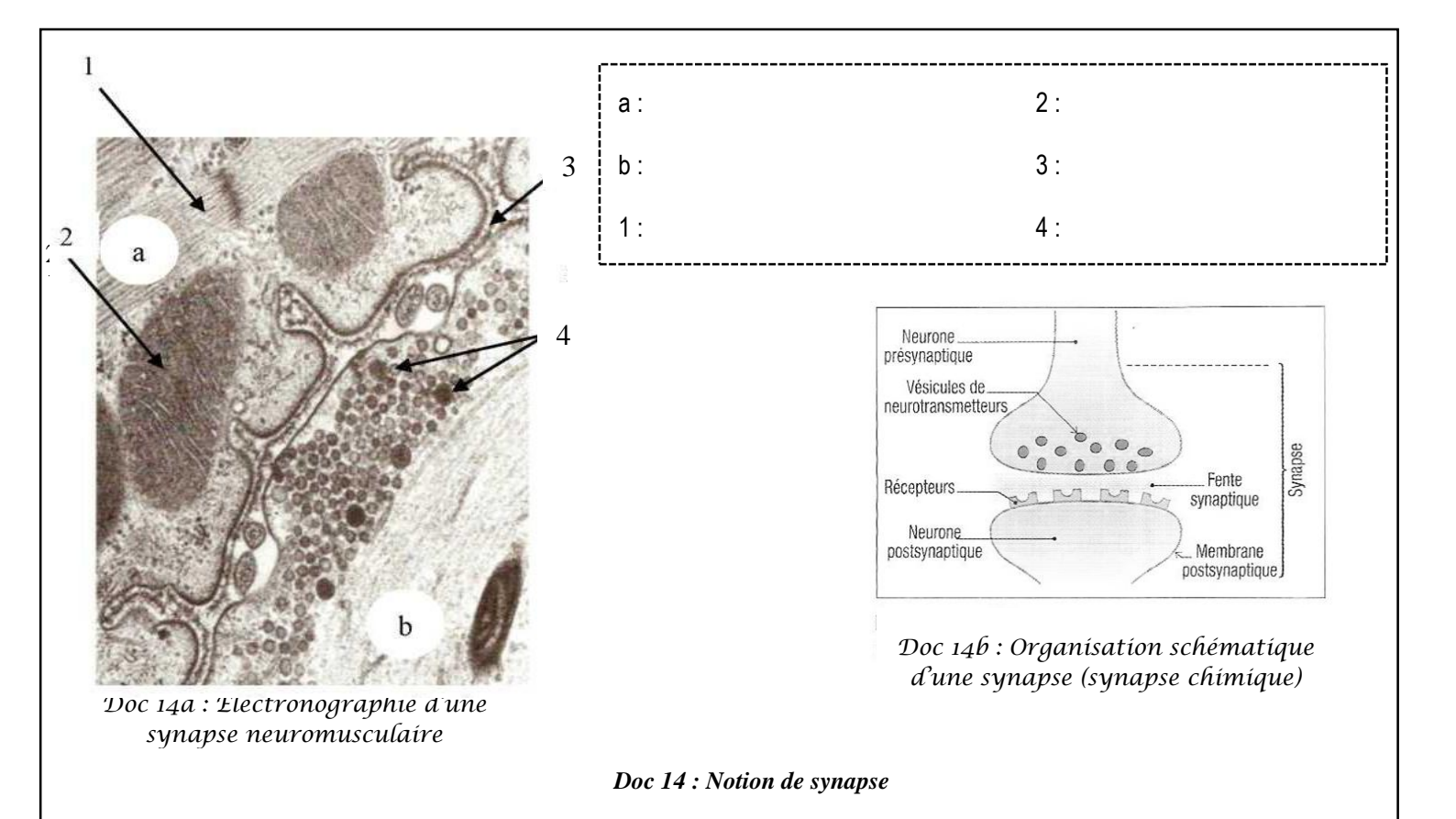


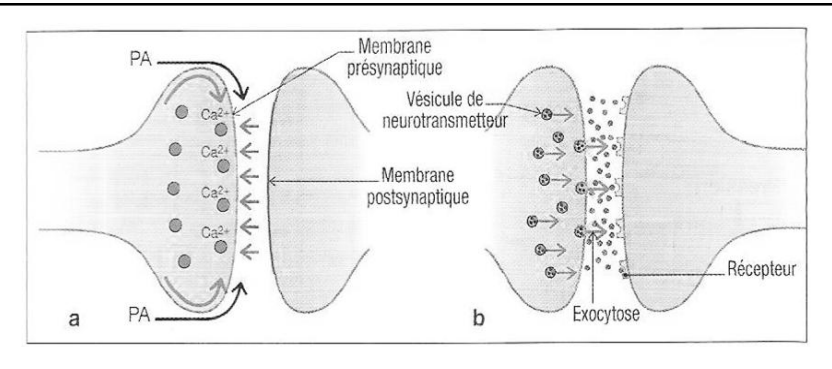


Дос 13а

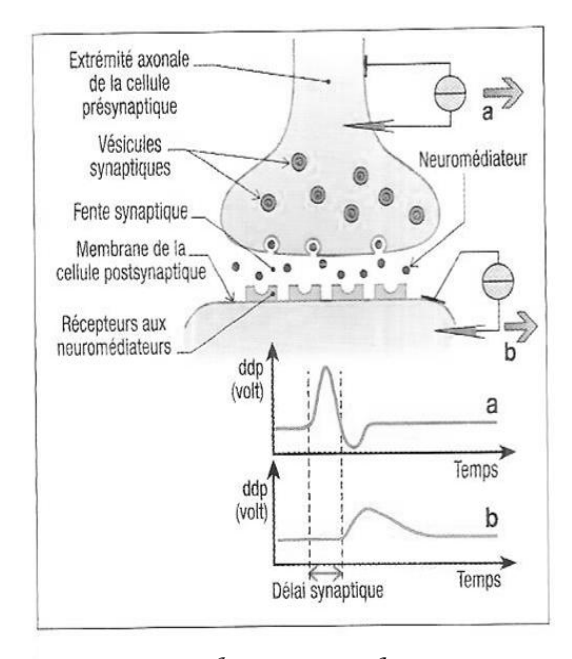
Дос 13в

Doc 13 : Mesure de la vitesse de conduction de l'influx nerveux

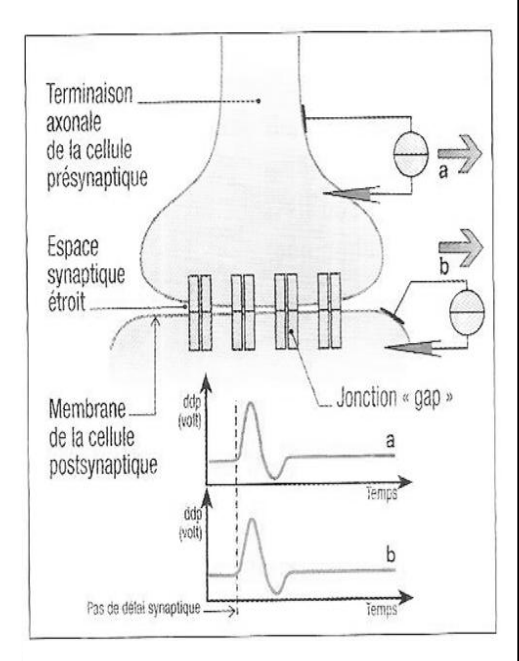




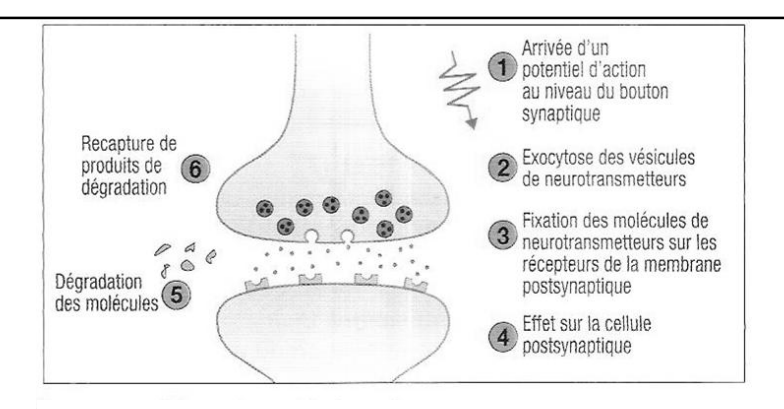
Doc 15a : L'arrivée du PA sur l'élément présynaptique



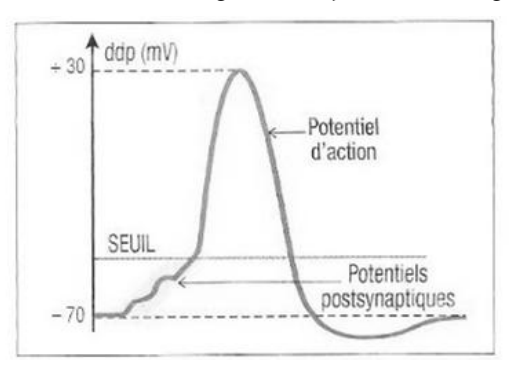
Doc 15b: Synapse chimique



Doc 15d : Synapse électríque

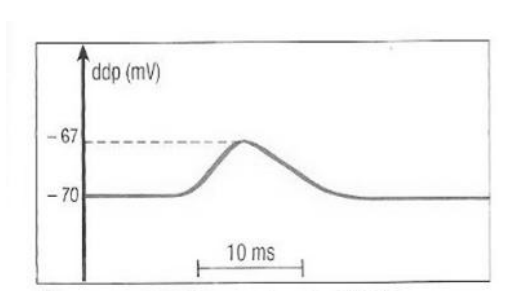


Doc 15c: codage chimique du message nerveux

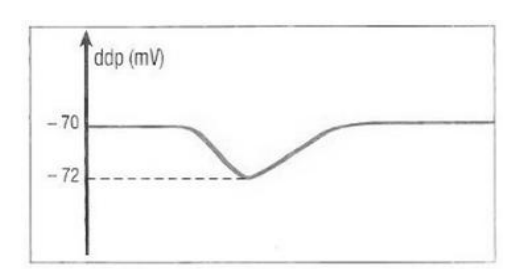


Doc 15f : Graphe du potentiel d'action postsynaptique

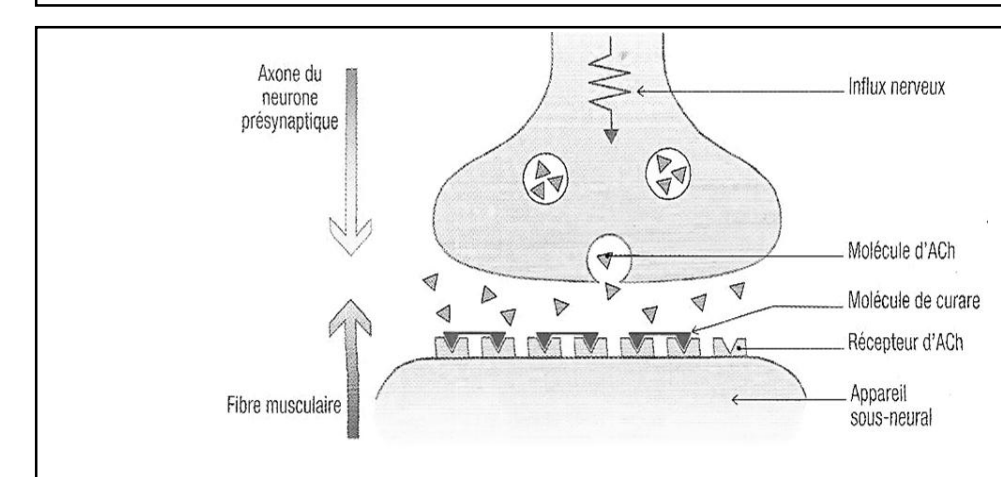
Doc 15: Fonctionnement des synapses (2)



Doc 15e : Graphe du potentiel postsynaptique excitateur (PPSE)



Doc 15g : Graphe du potentiel postsynaptique inhibiteur (PPSI)



Doc 16 : Blocage des récepteurs à acétylcholine par une drogue (le curare)

